

**Zeitschrift:** Bericht der Eidgenössischen Kommission zur Überwachung der Radioaktivität  
**Herausgeber:** Eidgenössische Kommission zur Überwachung der Radioaktivität  
**Band:** 19 (1975)  
**Anhang:** [Abbildungen = Images]

### **Nutzungsbedingungen**

Die ETH-Bibliothek ist die Anbieterin der digitalisierten Zeitschriften. Sie besitzt keine Urheberrechte an den Zeitschriften und ist nicht verantwortlich für deren Inhalte. Die Rechte liegen in der Regel bei den Herausgebern beziehungsweise den externen Rechteinhabern. [Siehe Rechtliche Hinweise.](#)

### **Conditions d'utilisation**

L'ETH Library est le fournisseur des revues numérisées. Elle ne détient aucun droit d'auteur sur les revues et n'est pas responsable de leur contenu. En règle générale, les droits sont détenus par les éditeurs ou les détenteurs de droits externes. [Voir Informations légales.](#)

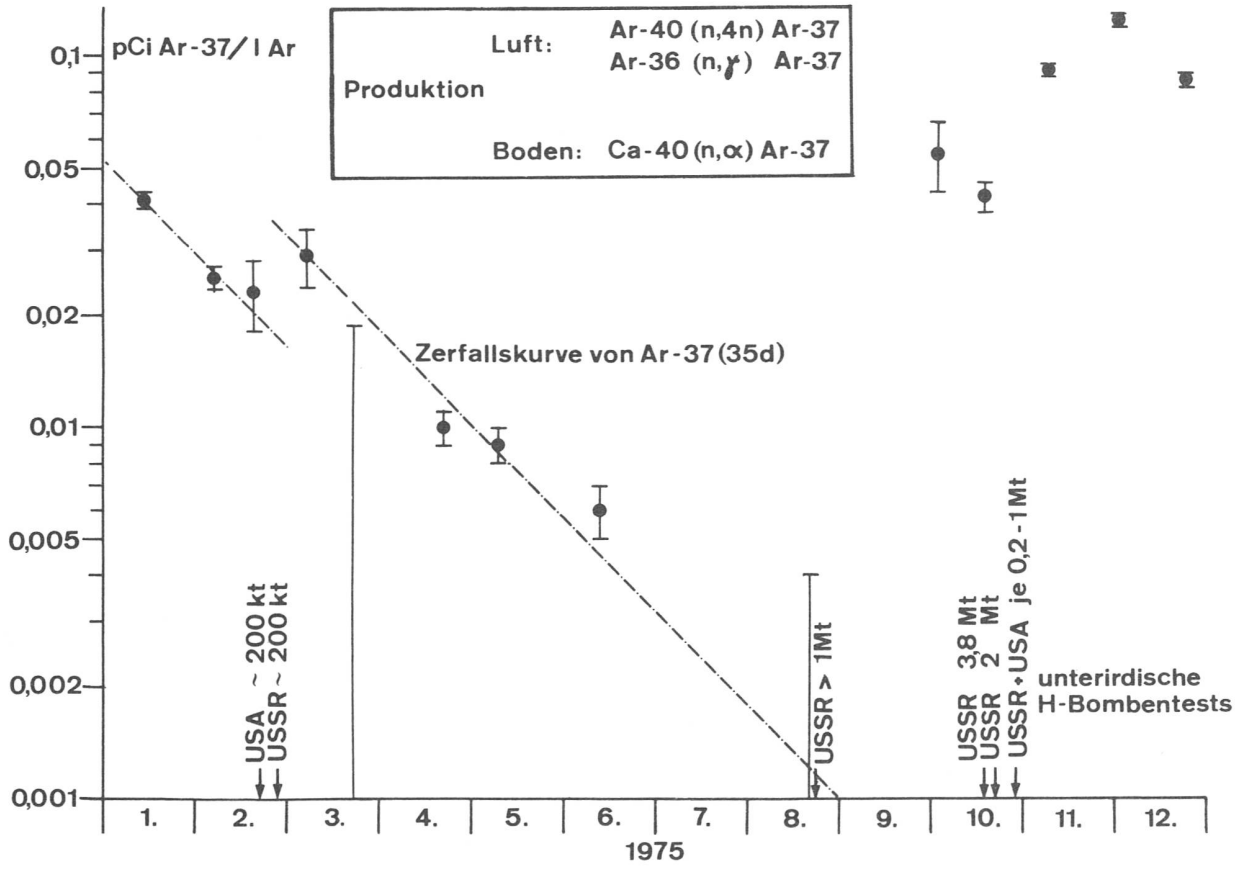
### **Terms of use**

The ETH Library is the provider of the digitised journals. It does not own any copyrights to the journals and is not responsible for their content. The rights usually lie with the publishers or the external rights holders. [See Legal notice.](#)

**Download PDF:** 14.03.2025

**ETH-Bibliothek Zürich, E-Periodica, <https://www.e-periodica.ch>**

Fig. 1. Ar-37 in der Luft von Bern (BE)  
Ar-37 dans l'air à Berne (BE)



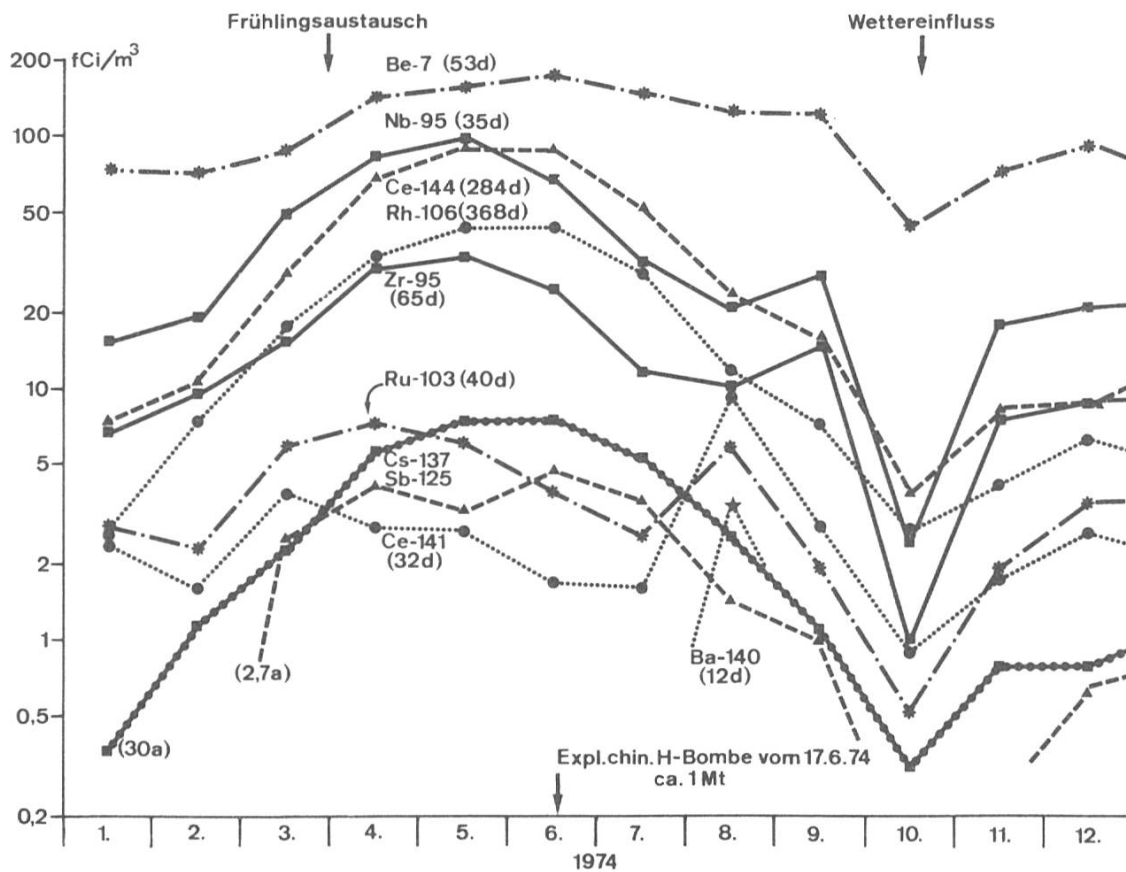


Fig. 2. Spaltprodukte und Be-7 in der Bodenluft von Freiburg 1974 (oben) und 1975 (gegenüberliegende Seite). Angaben in fCi/m<sup>3</sup> (1000 fCi = 1 pCi) (FR)

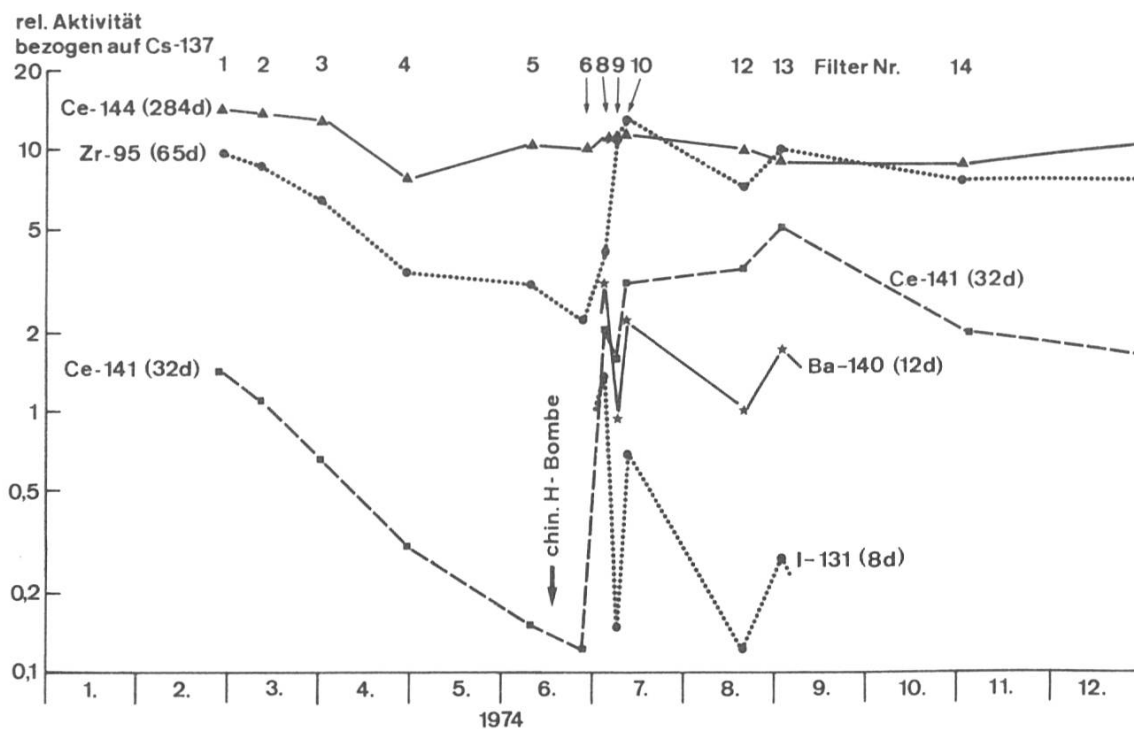
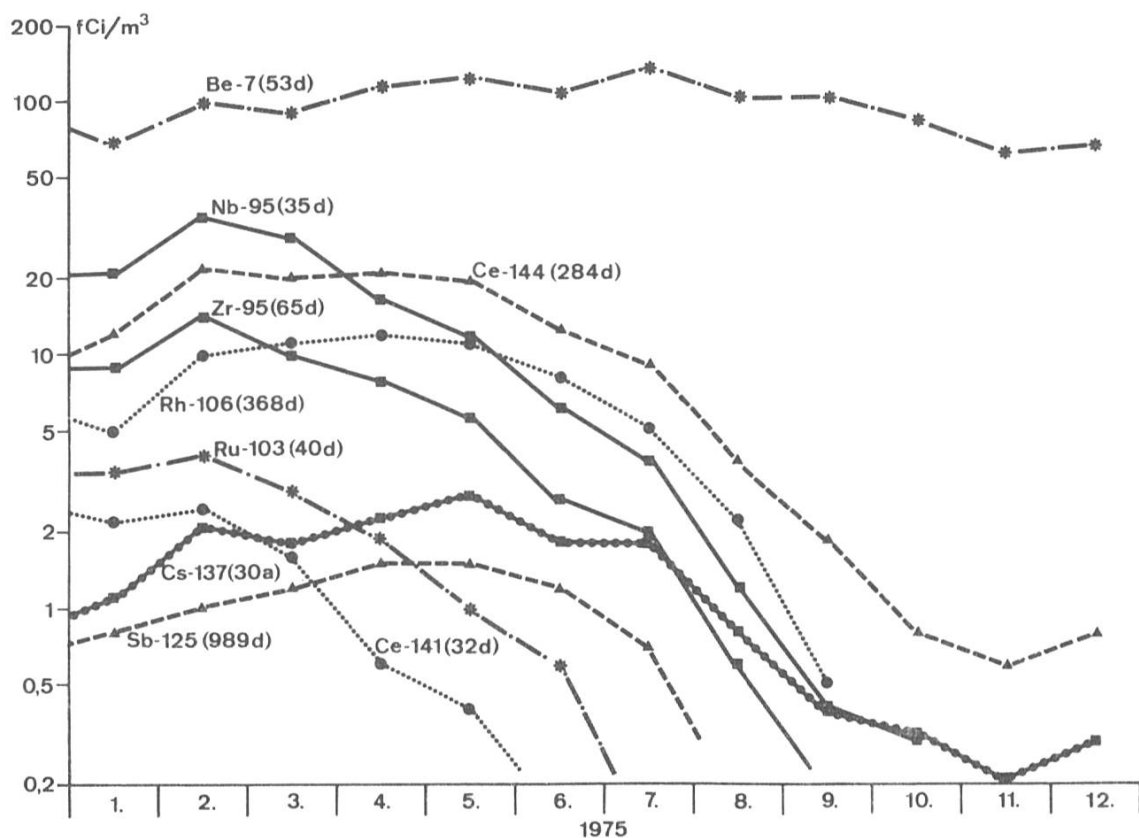
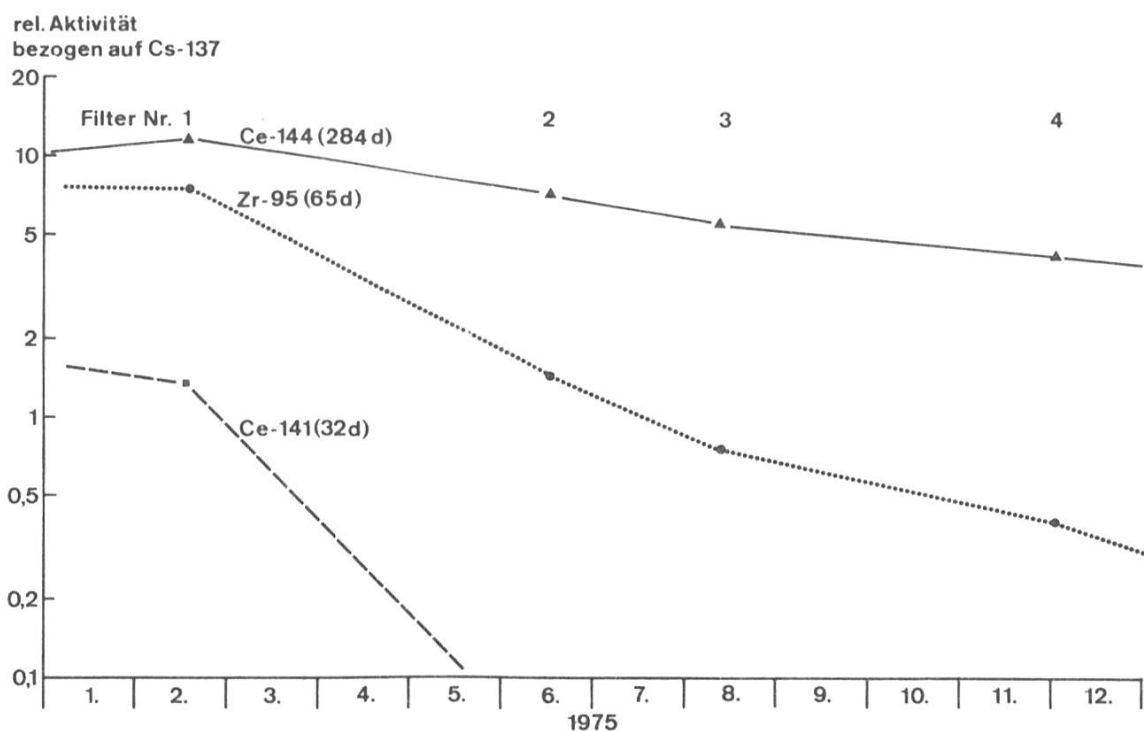


Fig. 3. Relative Aktivitäten, bezogen auf Cs-137 (= 1), einiger Spaltprodukte in der Höhenluft zwischen 8000 und 14000 m, 1974 (oben) und 1975 (gegenüberliegende Seite) (FR)



Produits de fission et Be-7 dans l'air à Fribourg, 1974 (p. précédente) et 1975 (ci-dessus). Valeurs en fCi/m<sup>3</sup> (1000 fCi = 1 pCi) (FR)



Activités relatives, rapportées au Cs-137 (= 1), de quelques produits de fission dans l'air entre 8000 et 14000 m d'altitude, 1974 (p. précédente) et 1975 (ci-dessus) (FR)

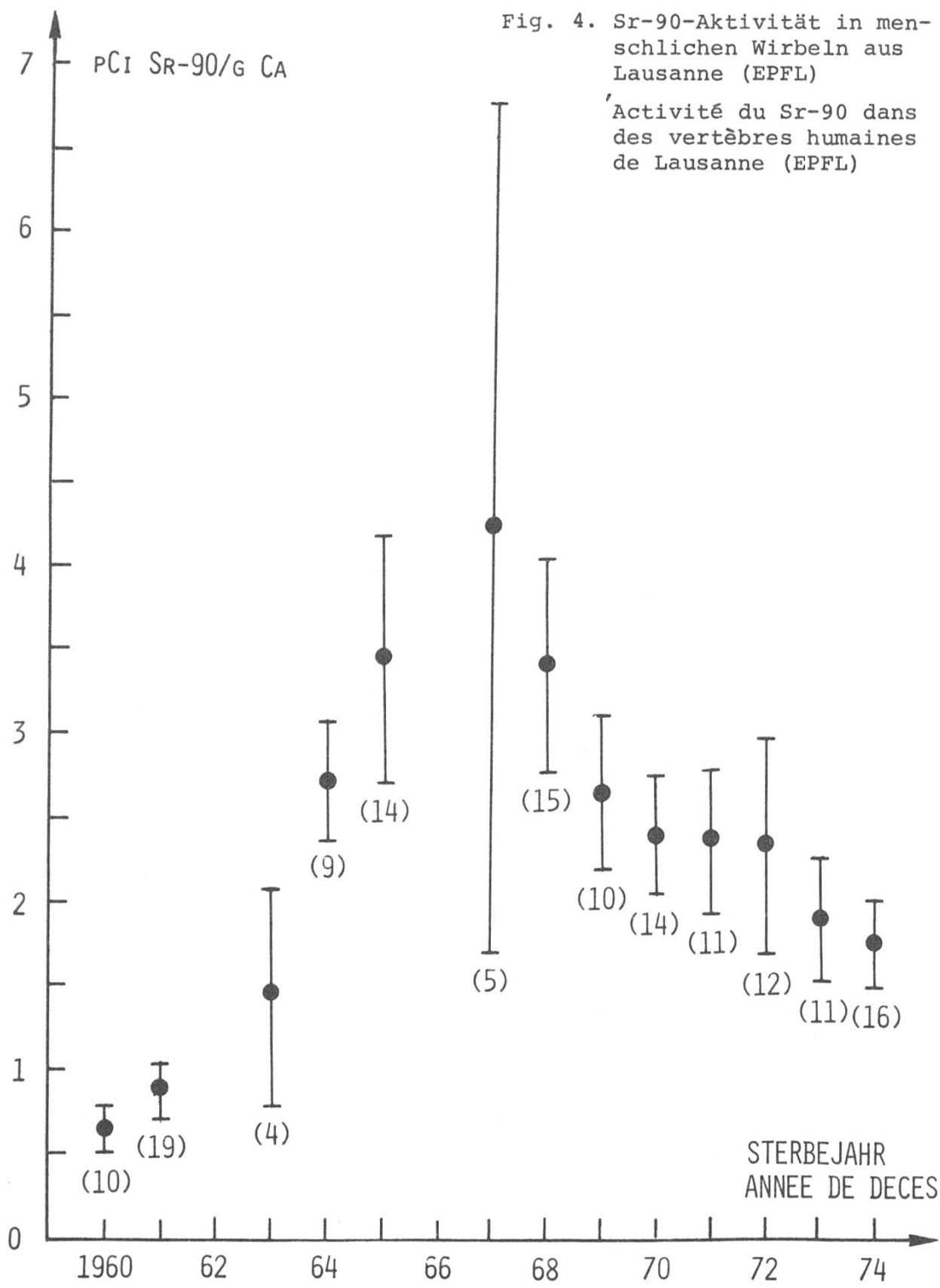


Fig. 4. Sr-90-Aktivität in menschlichen Wirbeln aus Lausanne (EPFL)  
 'Activité du Sr-90 dans des vertèbres humaines de Lausanne (EPFL)

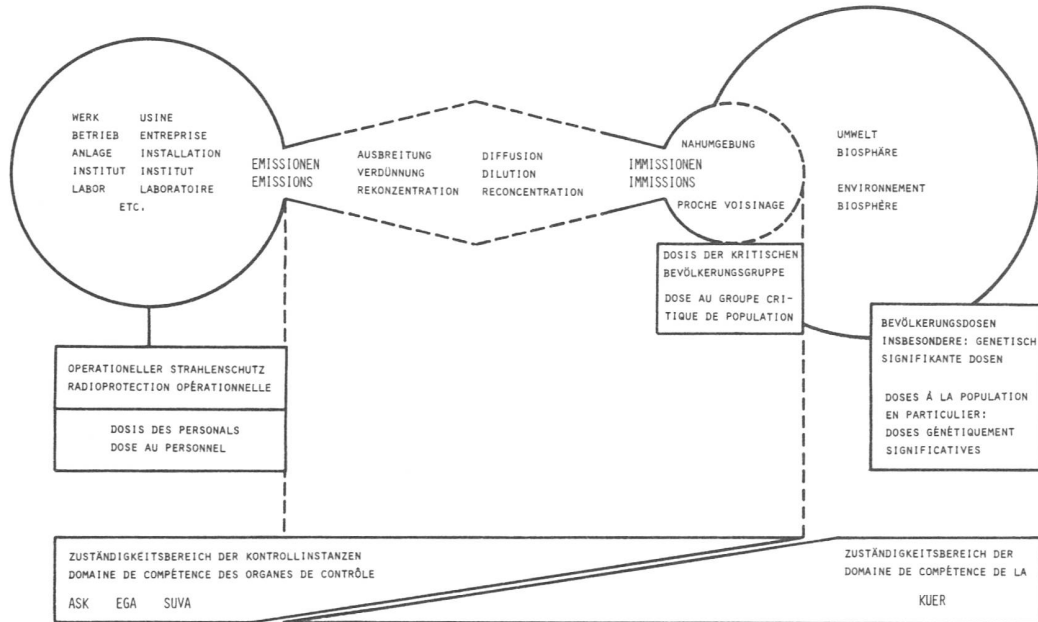


Fig. 5. Ueberwachung der Radioaktivität und Kontrolle des Strahlenschutzes in der Schweiz: synoptische Darstellung der Zuständigkeiten. ASK: Abt. für die Sicherheit der Kernanlagen; EGA: Eidg. Gesundheitsamt; SUVA: Schweiz. Unfallversicherungsanstalt; KUER: Eidg. Kommission zur Ueberwachung der Radioaktivität

Surveillance de la radioactivité et contrôle de la radioprotection en Suisse: présentation synoptique des compétences. ASK: Div. pour la sécurité des installations nucléaires; EGA: Service féd. de l'hygiène publique; SUVA: Caisse nationale suisse d'assurance en cas d'accidents; KUER: Commission féd. de surveillance de la radioactivité

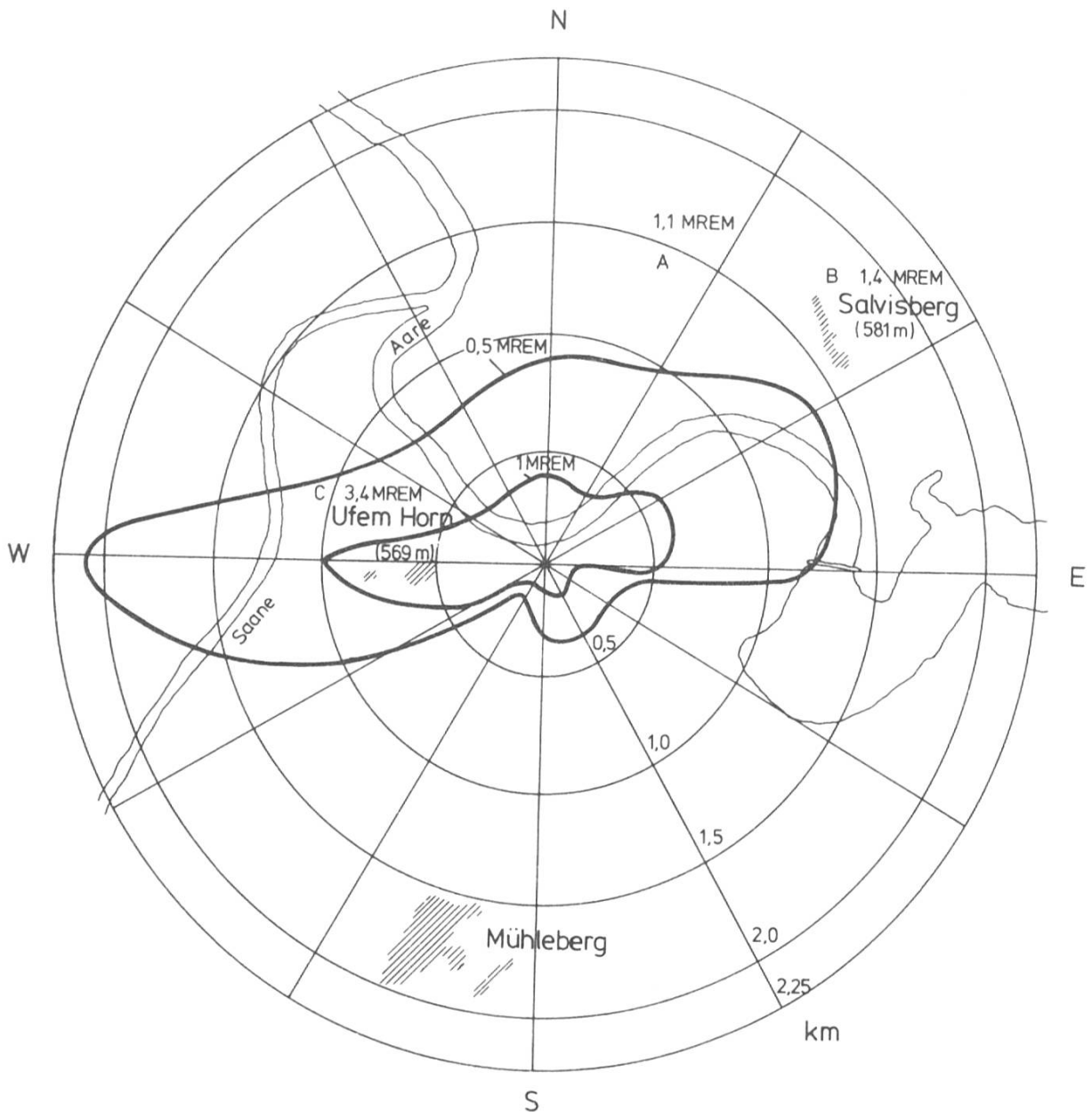


Fig. 6. Berechnete Isodosenlinien für die jährliche Gesamtkörperdosis durch Gammastrahlung (Submersion) aus der Abluftfahne des Kernkraftwerks Mühleberg aufgrund der Abgaben im Kalenderjahr 1975. Es wurde eine kontinuierliche Emission auf einer Höhe von 180 m über einer Ebene angenommen; für die Punkte A, B und C ist die Höhenlage zur Berechnung berücksichtigt (ASK)

Courbes d'égales doses annuelles au corps entier dues au rayonnement gamma (submersion) provenant du panache d'effluents gazeux de la centrale nucléaire de Mühleberg, calculées sur la base des rejets en 1975. On a admis une émission continue à une hauteur de 180 m au-dessus d'une surface plane; pour les points A, B et C, on a tenu compte dans le calcul de l'altitude (ASK)

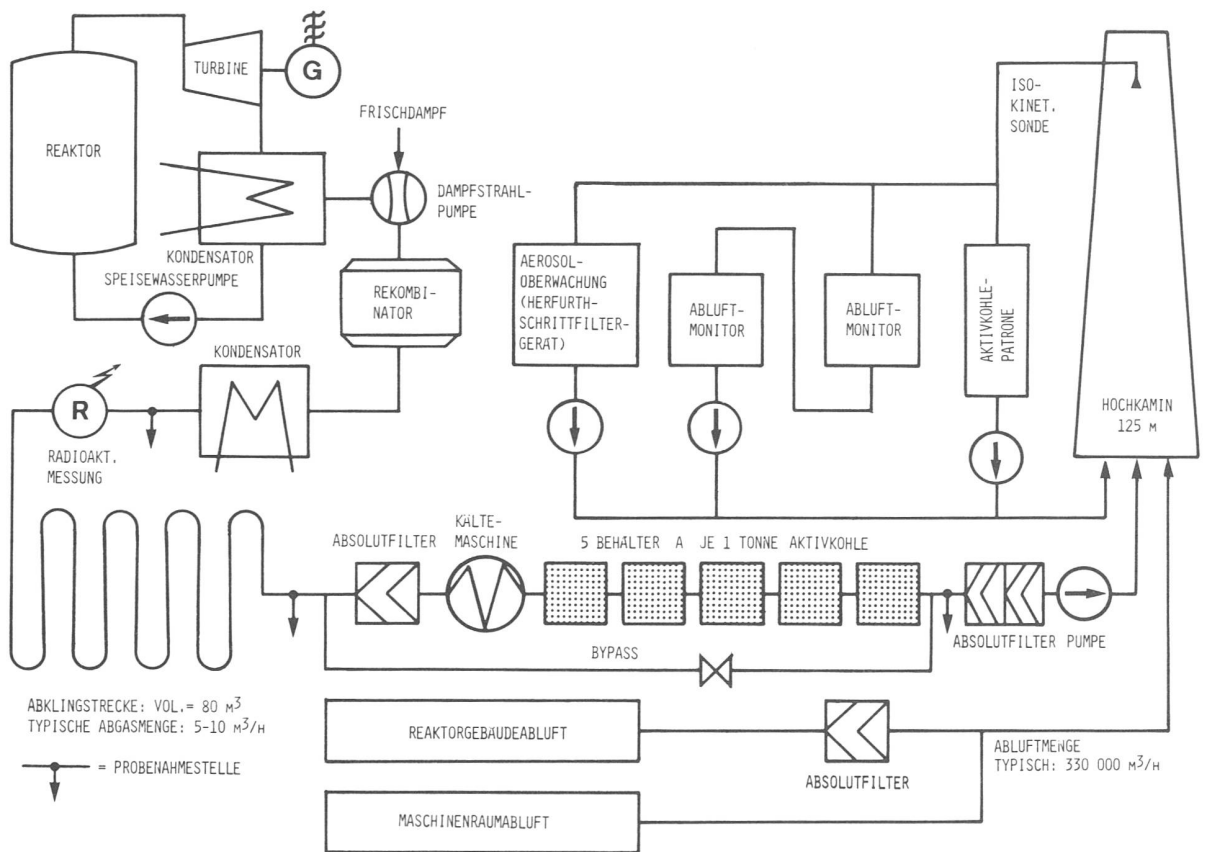
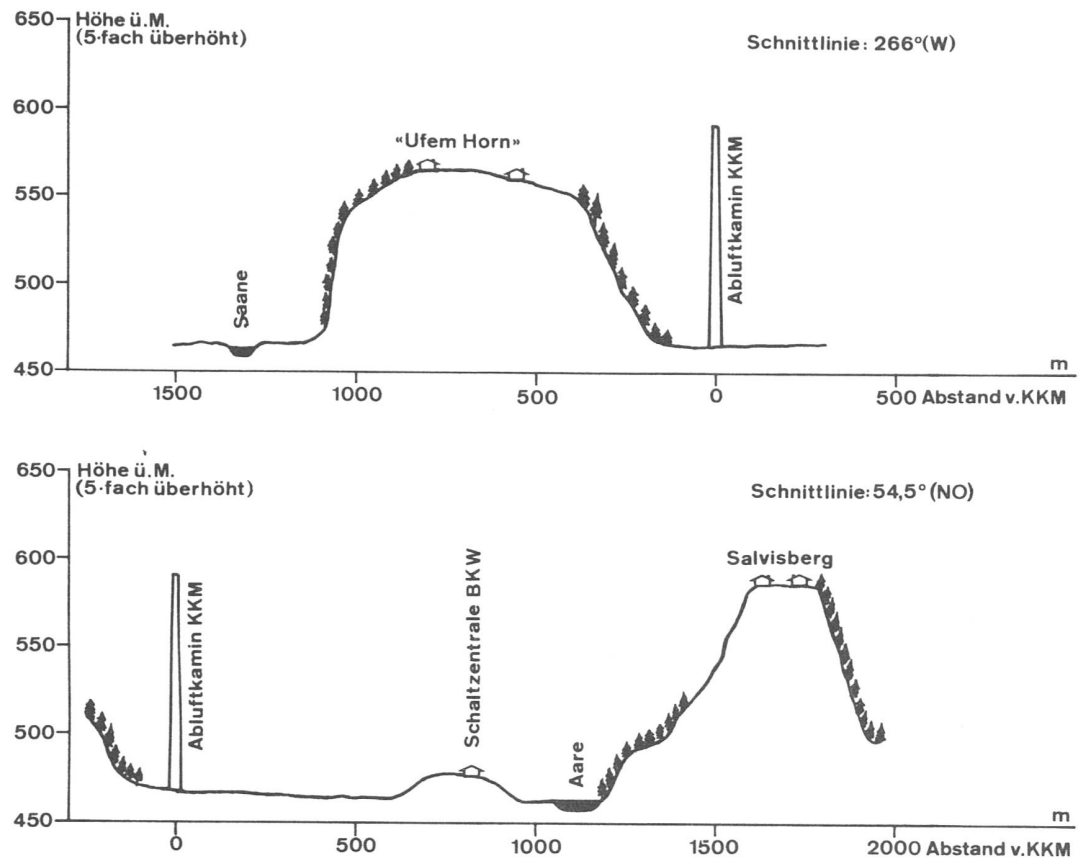


Fig. 7. Schema der Abgas- Abluft-Anlage im Kernkraftwerk Mühlberg

Schema du système de traitement et de contrôle des gaz d'échappement à la centrale nucléaire de Mühlberg



Fig. 8. Geländeschnitte in den Haupt-Windrichtungen beim Kernkraftwerk Mühlberg  
 Profils du terrain dans les directions principales du vent au voisinage de la centrale nucléaire de Mühlberg



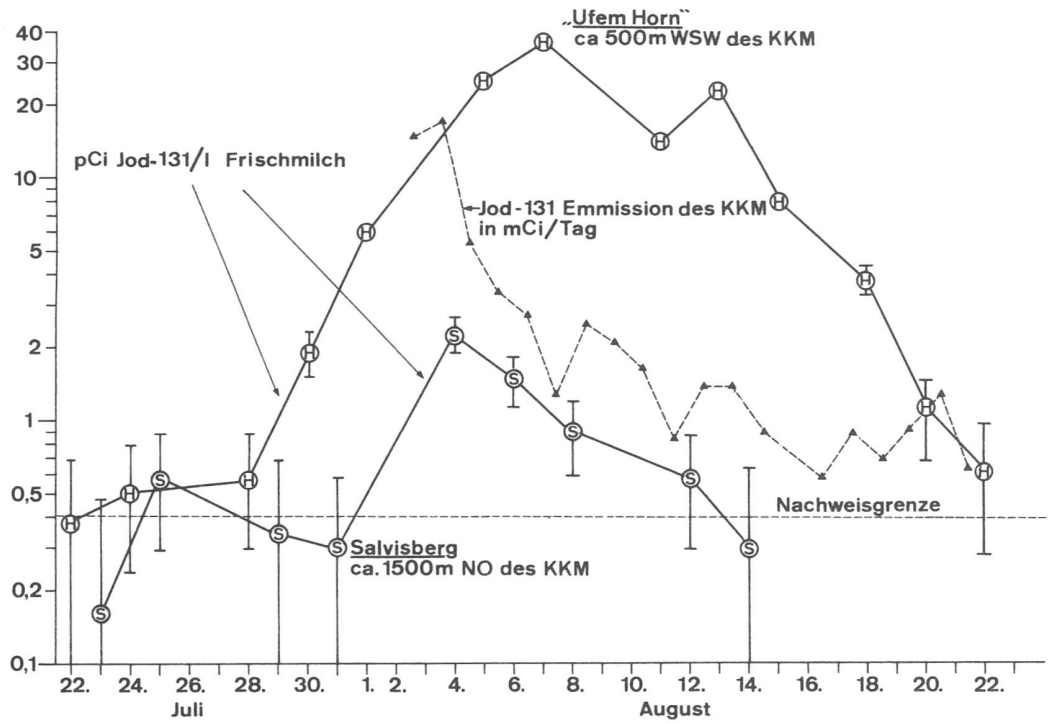


Fig. 9. Jod-131-Emission aus dem Kernkraftwerk Mühleberg und Jod-131-Gehalt in der Milch von ausgewählten Stellen in den Haupt-Windrichtungen, Juli/August 1975 (Genauigkeit an der Nachweisgrenze:  $\pm 50\%$  bei einfacher Standardabweichung) (FR)

Emission d'iode-131 par la centrale nucléaire de Mühleberg et teneur en iode-131 de lait provenant d'endroits choisis dans les directions principales du vent, juillet/aout 1975 (Précision à la limite de détection:  $\pm 50\%$  au niveau de confiance de 68%) (FR)

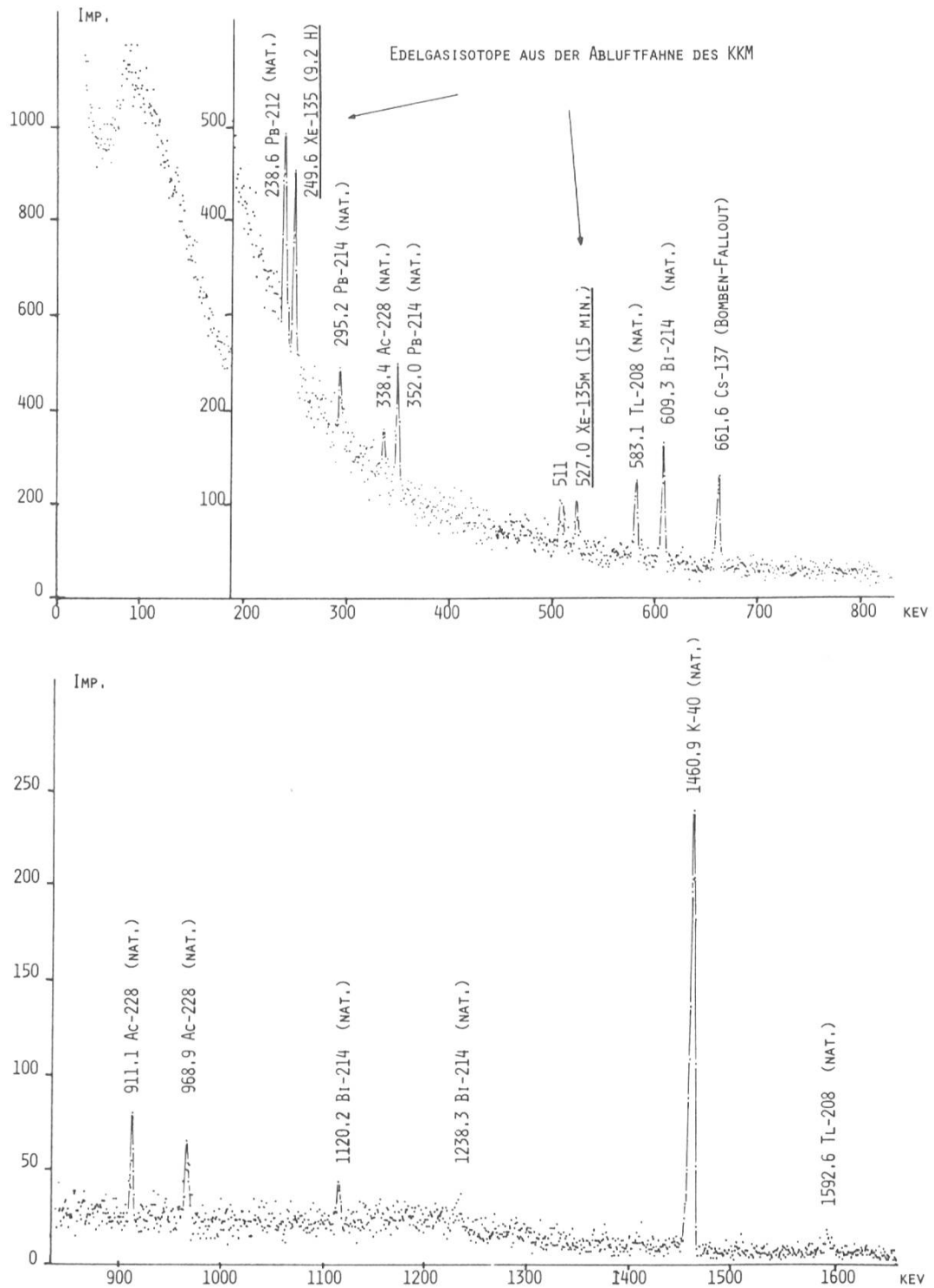


Fig. 10. Gammaspektrum einer Feldmessung mit Ge-Li-Detektor beim Schulhaus Oberei (1300 m SO des KKW Mühleberg), nach Schnellabschaltung des Reaktors. Datum: 25.7.1975, Messdauer: 3 Stunden (FR, ASK)

Spectre gamma obtenu avec un détecteur Ge-Li lors d'une mesure en campagne près de l'école d'Oberei (1300 m SE de la centrale nucléaire de Mühleberg), après un arrêt rapide du réacteur. Date: 25.7.1975, durée de la mesure: 3 heures (FR, ASK)

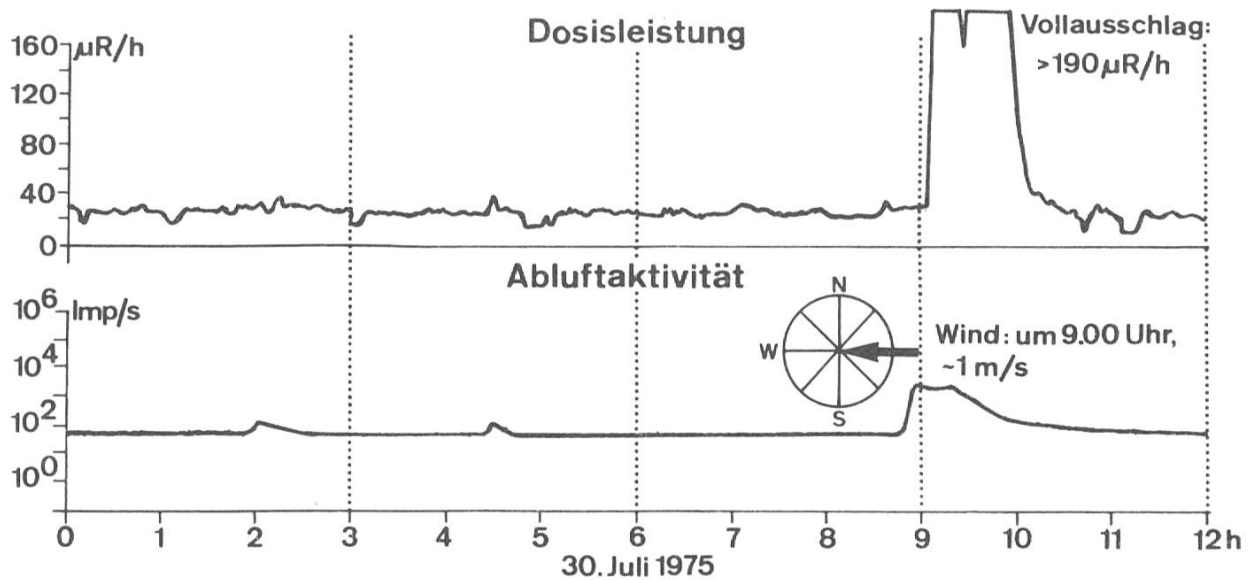
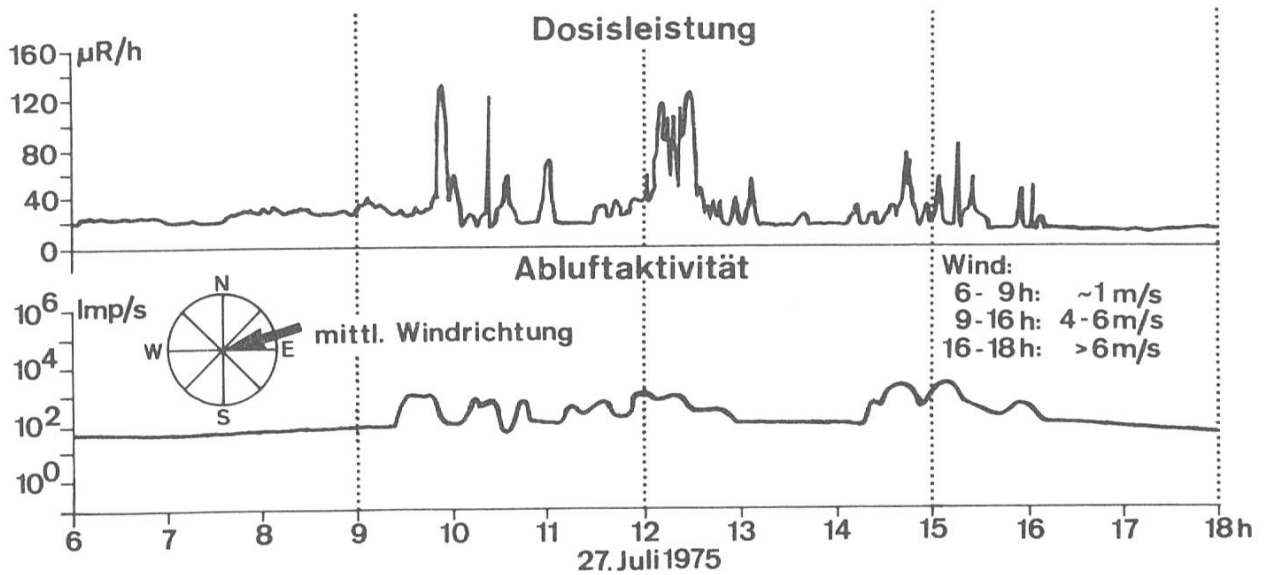


Fig. 11. Registrierungen beim Kernkraftwerk Mühleberg in der Abschaltphase des Reaktors (FR). Dosisleistung "Ufem Horn"; Aktivität der Abluft im Kamin (zwei Detektoren, log. Skala)

Enregistrements à la centrale nucléaire de Mühleberg pendant la phase d'arrêt du réacteur (FR). Débit de dose à "Ufem Horn"; activité des effluents gazeux dans la cheminée (deux détecteurs, échelle log.)

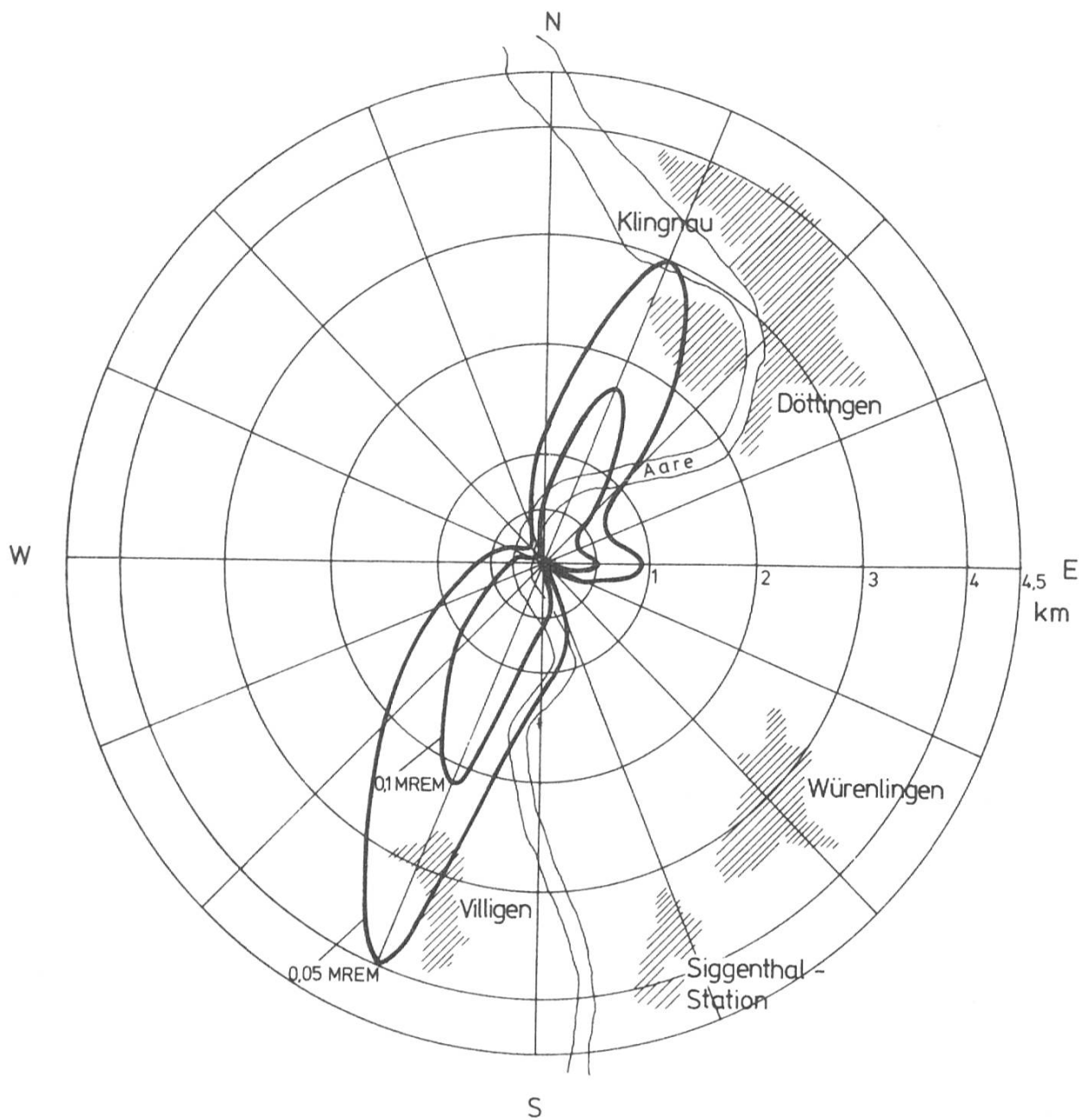
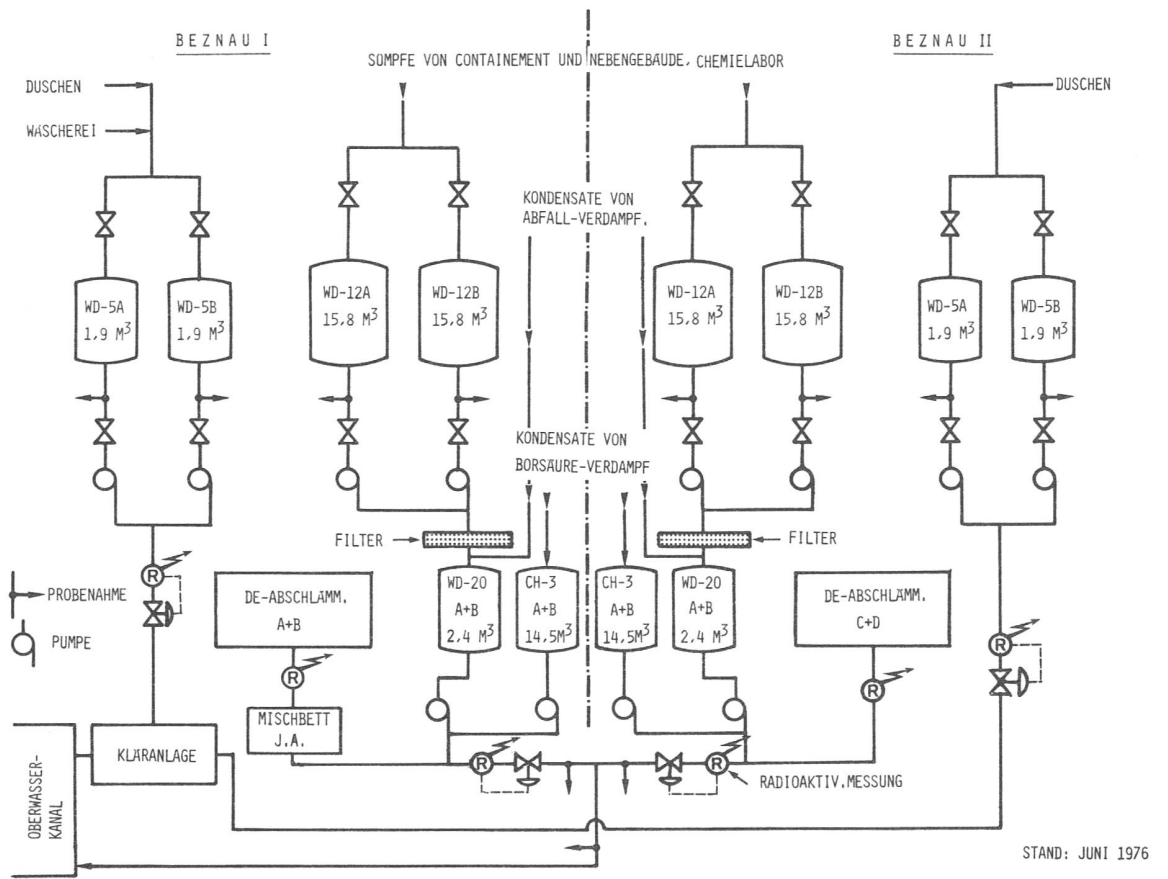


Fig. 12. Berechnete Isodosenlinien für die jährliche Gesamtkörperdosis durch Gammastrahlung (Submersion aus der Abluftfahne) der Kernkraftwerke Beznau I und II aufgrund der Abgaben im Kalenderjahr 1975. Es wurde eine kontinuierliche Emission auf einer Höhe von 30 m über einer Ebene angenommen (ASK)

Courbes d'égales doses annuelles au corps entier dues au rayonnement gamma (submersion) provenant du panache d'effluents gazeux des centrales nucléaires Beznau I et II, calculées sur la base des rejets en 1975. On a admis une émission continue à une hauteur de 30 m au-dessus d'une surface plane (ASK)

Fig. 13. Schema der Abwasser-Anlage in den KKW Beznau I und II  
 Schéma du système de traitement et de contrôle des eaux  
 usées aux centrales nucléaires Beznau I et II



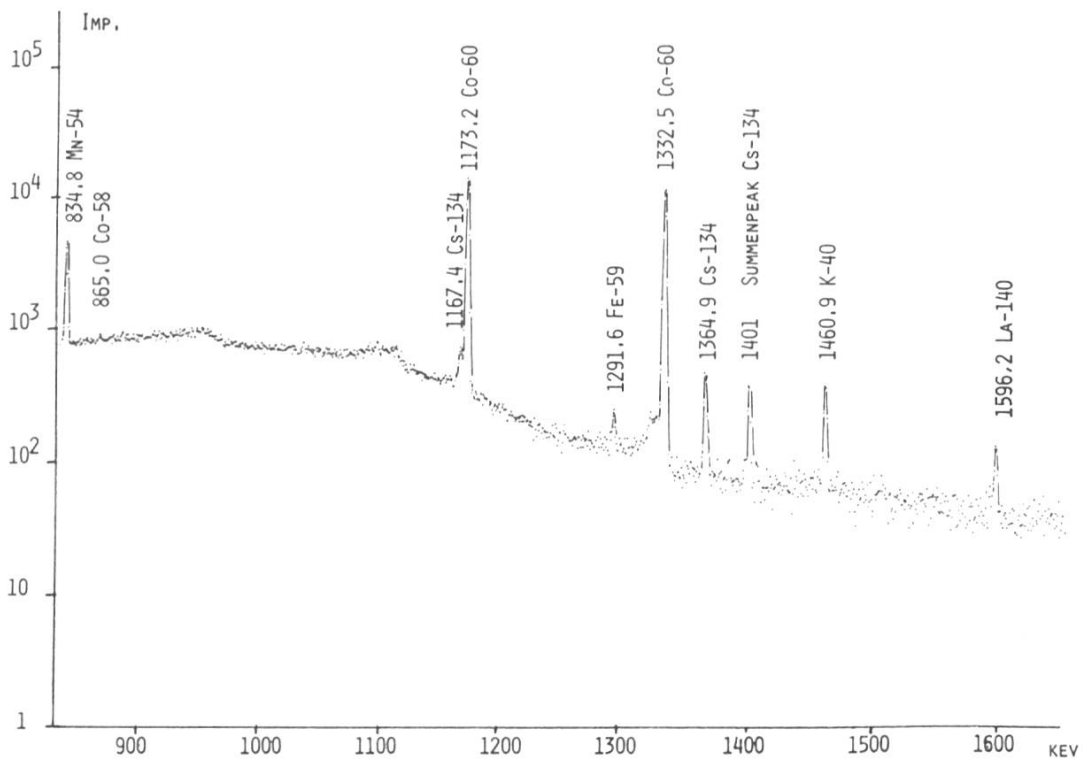
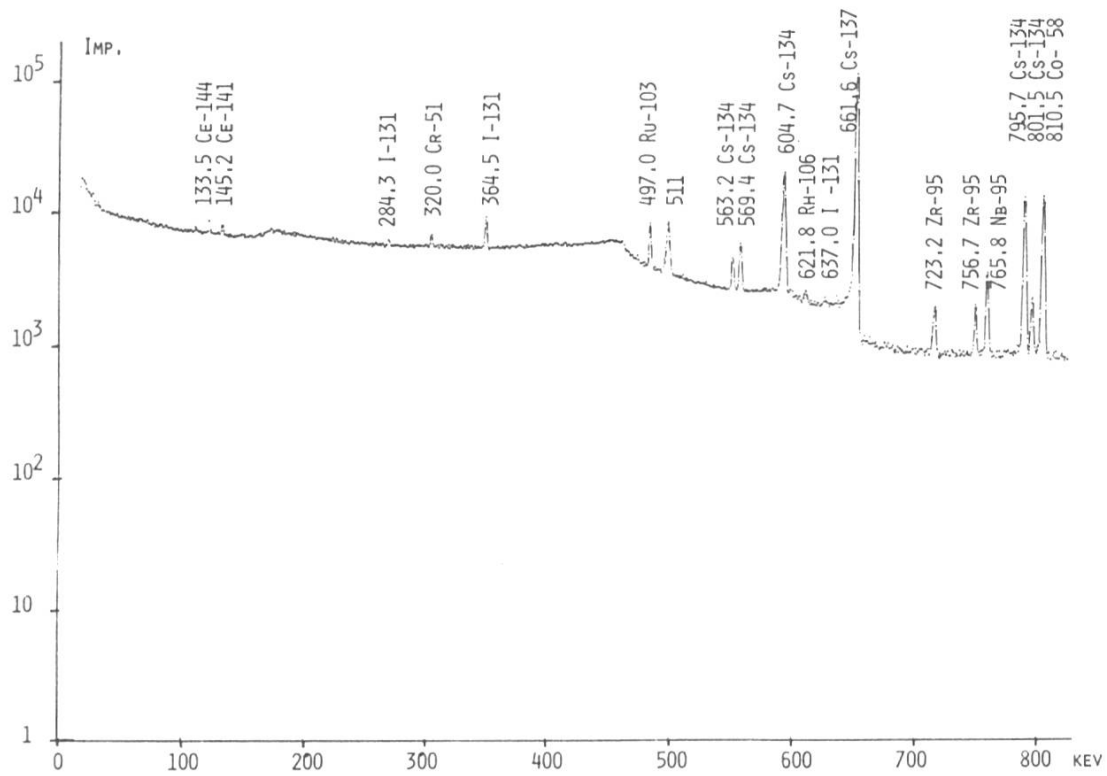


Fig. 14. Gammaspektrum von 5 Liter filtriertem Wasser aus der Klärgrube der KKW Beznau. Entnahme: 20.6.75; Messung: 29.6.75 mit Ge-Li-Diode während 40000 s (FR)

Spectre gamma de 5 litres d'eau filtrée provenant de la fosse d'épuration de la centrale nucléaire de Beznau. Prélèvement: 20.6.75; mesure: 29.6.75 avec une diode Ge-Li pendant 40000 s (FR)

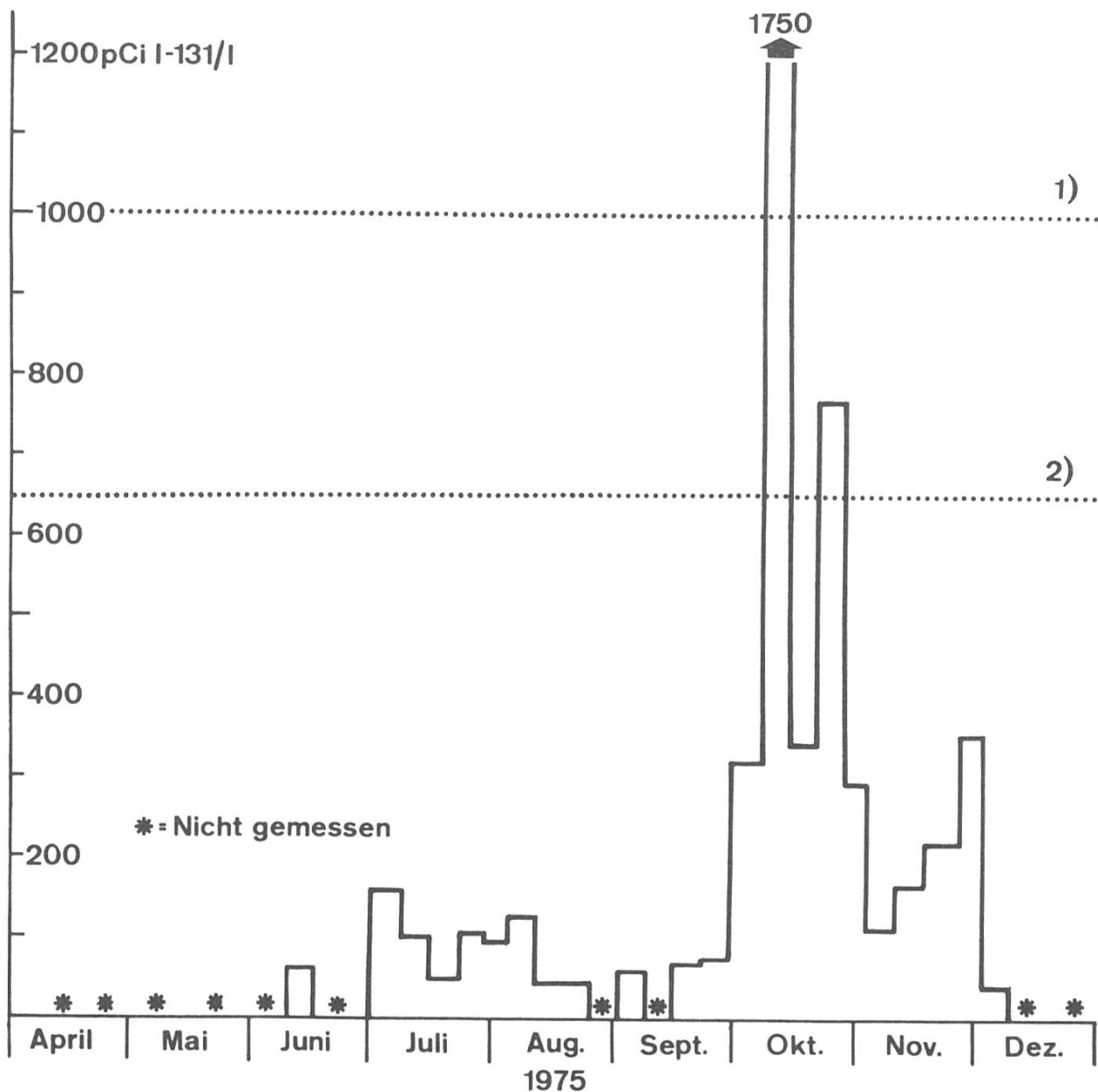


Fig. 15. J-131-Aktivität am Ausfluss der Abwasserreinigungsanlage Zürich-Werdhölzli (FR)

- 1) Höchstzulässige Aktivitätskonzentration im Abwasser gemäss Strahlenschutzverordnung 1963
- 2) Höchstzulässige Trinkwasserkonzentration für die Gesamtbevölkerung

Activité du J-131 à la sortie de la station d'épuration des eaux usées de Zürich-Werdhölzli (FR)

- 1) Concentration maximale admissible dans les eaux usées d'après l'ordonnance concernant la protection contre les radiations de 1963
- 2) Concentration maximale admissible dans l'eau potable pour la population dans son ensemble



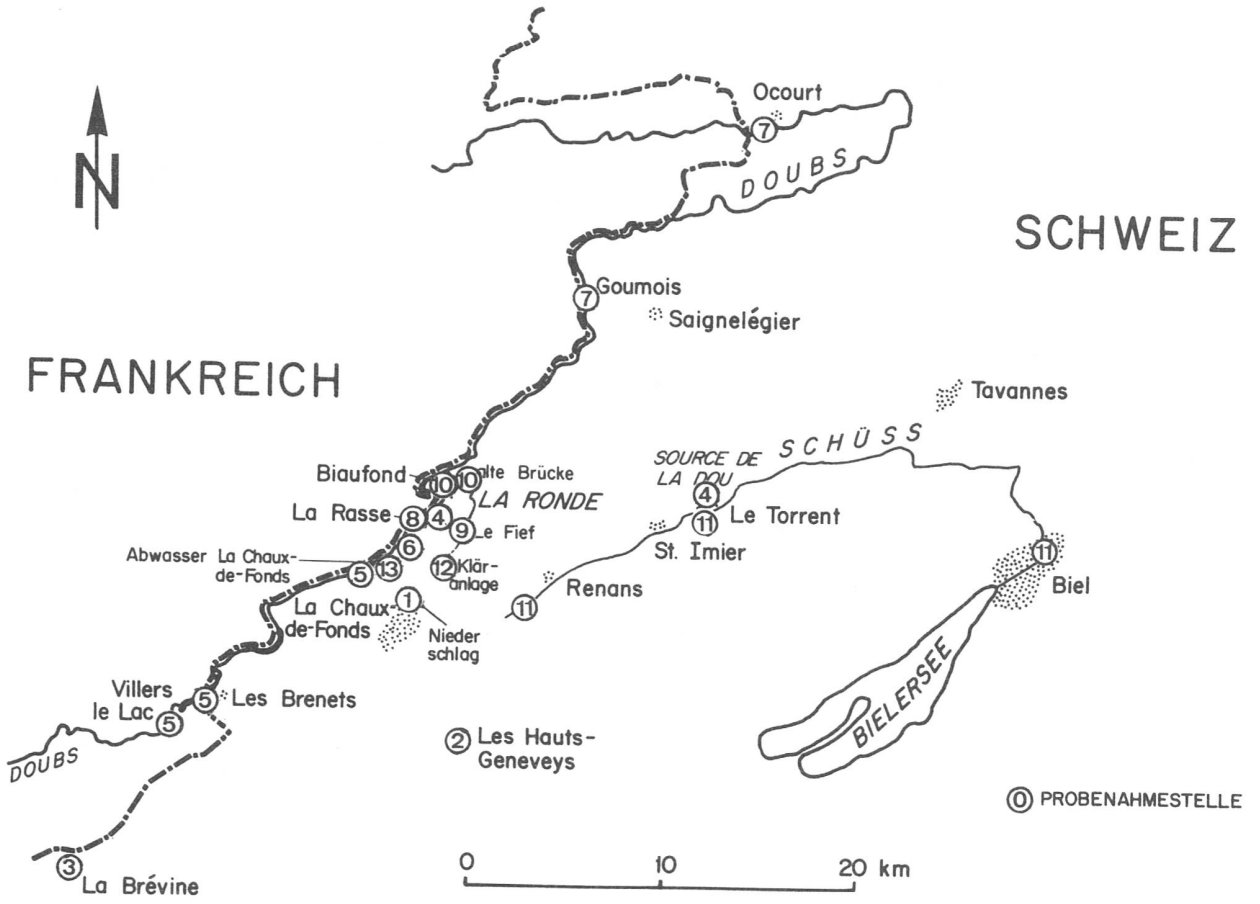


Fig. 16. Probenahmestellen für Tritium in Wasser im Raum La Chaux-de-Fonds, Zahlen vgl. Tab. 9 (EAWAG)

Points de prélèvement d'échantillons pour la détermination du tritium dans l'eau dans la région de La Chaux-de-Fonds, cf. tabl. 9 pour les numéros (EAWAG)

# ABWASSER - EAUX RESIDUAIRES 1975

- 35 -

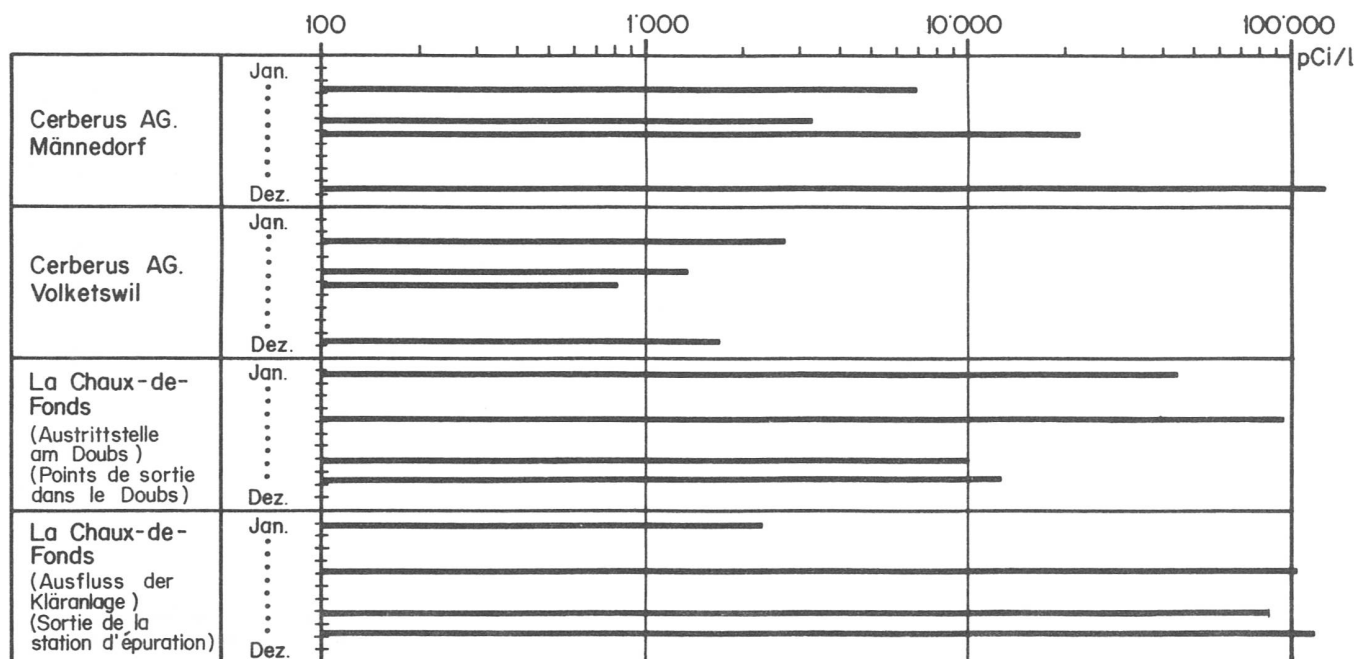


Fig. 17. Tritium-Aktivität in Abwasser - Activité du tritium dans les eaux résiduares (EAWAG)